

科学技術省国立防災科学技術センター 正員 ○伊藤秀夫

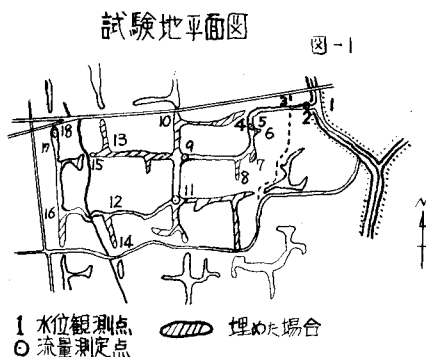
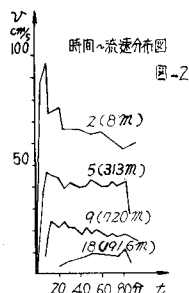
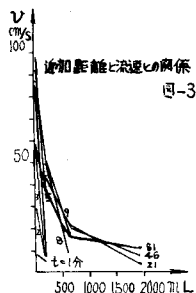
正員 岸井徳雄

## 結言

有明海北岸低地部の一部を試験地 ( $1\text{km} \times 0.7\text{km}$ ) に選び、この地区における複雑な水路内の水位、流速を現地において測定し、特に水位について計算値と比較した。更にこの試験地の模型 (横 $1/50$ 、縦 $1/50$ ) について実験を行い、实物と模型との水位、流速変化について比較検討した。又模型実験で水路の一部を埋めた場合の水位、流速の現状との比較、内水地区の水深が大きい場合の内水排除の効果をみるために模型で水深を上げ、下流端内を急に開いた場合の流線及び流速のボテンシャル解析との比較、更に狭小路水路内の水流の動き等について観察し、今後増大すると思われる内水排除対策の一助となることをすすめである。

## 本論

水位変化と流速変化を測定するためには、ポール式水位計 8ヶ所、流速計 5ヶ所 (図-1 参照) 設置した。干潮時に内舟ノ内 ( $130\text{m} \times 140\text{m}$ ) を全用し、水位については 1 分間隔で目測により、流速についてはプライス式流速計によって、同じく 1 分間隔で測定した。毛水面より下流排水樋内からの追加距離に随く反比例して減少する。 (図-2、図-3 参照)



更に水位変化について流れを一様断面を流水の一次元流として解いた Stokes 法即ち運動方程式

$$\frac{\partial V}{\partial t} + V \cdot \frac{\partial V}{\partial X} + g \frac{\partial Y}{\partial X} + E = 0 \quad \therefore \frac{\partial E}{\partial t} = g(S_f - S) \quad S_f = n^2 V^2 / 101 \left\{ \frac{1}{(1+2/V)} \right\}^{4/3} \text{ 連続式}$$

$$\frac{\partial V}{\partial X} + V \frac{\partial V}{\partial X} + Y_t = 0 \quad \text{について} \quad \frac{\partial V}{\partial t} = (V_p - V_M)/\Delta t, \quad \frac{\partial V}{\partial X} = (C_p - C_M)/\Delta X \quad \text{又} \quad \frac{\partial Y}{\partial X} = (V_M - V_L)/\Delta X, \quad V_X = (V_R - V_M)/\Delta X, \quad C_X = (C_M - C_L)/\Delta X, \quad C_R = (C_R - C_M)/\Delta X$$

$$\text{の差分で表わして運動方程式と連続式に代入して} V_p, C_p \text{について解けば}$$

$$V_p = V_M + \frac{\Delta t}{\Delta X} \left\{ (C_M + C_M) \left( \frac{1}{2} V_L - \frac{1}{2} V_M + C_L - C_M \right) - (C_M - V_M) \left( \frac{1}{2} V_R - C_M + C_R \right) - \Delta X E_M \right\}$$

$$C_p = C_M + \frac{1}{2} \frac{\Delta t}{\Delta X} \left\{ (C_M + V_M) \left( \frac{1}{2} V_L - \frac{1}{2} V_M + C_L - C_M \right) + (C_M - V_M) \left( \frac{1}{2} V_R - \frac{1}{2} V_M - C_M + C_R \right) \right\}$$

下流端では

水路の数の影響については目下検討中である。

次に分岐水路中、袋小路水路内の流水について観察してみると、

袋小路水路内の流水は、主流に対する袋小路水路の流入の仕方によつて流速に差が出来たが、主流から遠ざかるほどつれて急速に流速は減少する。しかし袋小路水路内に流入量が多少でもあれば流れが起る。(図-11, 12参照)

このことは排水路網は一環した連続水路と下方が排水上有利であり、袋小路水路の場合には排水が極めて悪くなることか予想される。

次に内水地区の水深が

大きい場合の内水排除による効果を見たために、前述の試験地(模型)で、田面上約10cmの水深について、内水灌水時に下流插門を閉じて内水排除(下場合の流線及び流速)について、実験及び計算を行つたので概略を述べる。

流れはほとんどテンシャル流れと考えられるから、下流で排水(下場合の流線を求めるために、E面上に強さ $m$ の吹込みをおき schwarz-christoffel の变换によつて、E面上の上半面上に写像す)

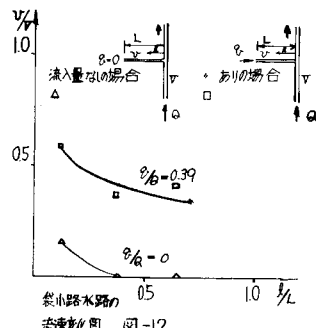
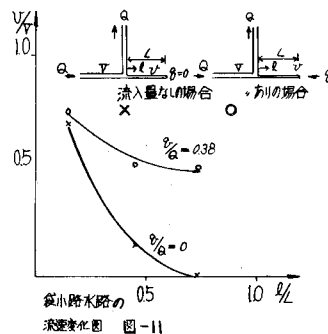
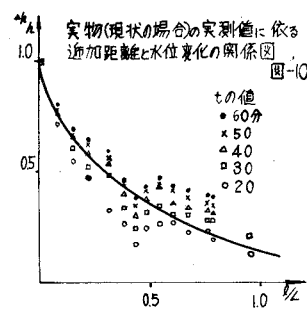
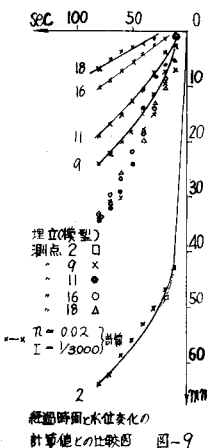
$$\text{写像函数 } W = \frac{\pi}{\lambda} \log (\cosh \frac{\pi}{\lambda} z + 1) \quad \text{となり}$$

これから速度ポテンシャル  $\phi = \log K$ 、流線函数  $\psi = (4)$  ( $z = \tau$   $K = \sqrt{x^2 + Y^2}$ )

$$(4) = \tan^{-1} Y/X \quad X = \frac{1}{2} f \cosh y (e^{hx} + e^{-hx}) + z \}, \quad Y = \frac{1}{2} f \sinh y (e^{hx} - e^{-hx}) \}, \quad \frac{\partial \psi}{\partial \tau} = h$$

吹込みの強さ $m$ を流出量にえりびゆく、 $\psi$ の値を電子計算機TOSBAC-3400によつてE面でY方向4m、X方向2mまで0.1mずつ変化させ、全部で3200点の座標について計算を行つた。

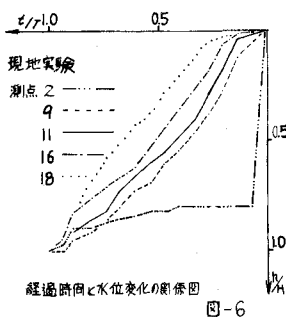
実測値は表面番号をつけた紙の動きを写真で撮つて、流線及び流速を推定した。実測値と計算値の流線及び流速の比較を示すのが図-13、図-14の如くである。



$$U_p = U_M - \frac{\partial Y}{\partial t} \{ (C_M + U_M)(Z C_M - Z C_L - U_L + U_M) - E_M \} + Z (C_P - C_M)$$

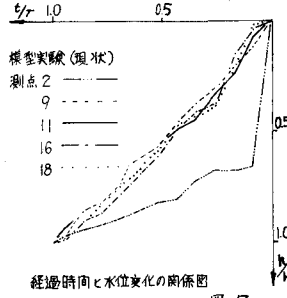
収束条件  $(U + C) \leq \frac{\partial Y}{\partial t}$  となる。

今初期条件  $U(x, 0)$ ,  $Y(x, 0)$  と境界条件  $Y(x_0, t)$ ,  $n=0.05$  を与えて電子計算機 TOSBA C-3400 により、水位を計算し、実測との比較をすみれば図-4の如くである。水位測定点の水位変化の時間軸をみるとために、水位低下量  $10\text{cm}$ ,  $5\text{cm}$  の位置と時間軸をみる。測定点は図-5 の如く下流排水溝内から約  $2\text{km}$  離れた地点では  $20\sim30$  分位の時間軸がみられる。次に模型実験と実物との水位変化は図-6 図-7 の如くである。



経過時間と水位変化の関係図

図-6

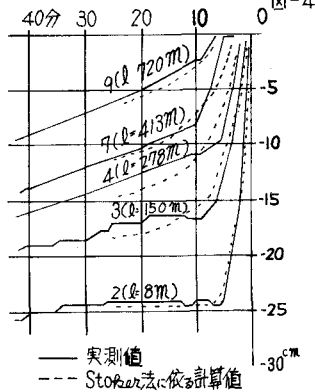


経過時間と水位変化の関係図

図-7

複雑な水路内の水位変動図

図-4



— 実測値  
--- Stoker法による計算値

追加距離～水位変化の時間軸関係図

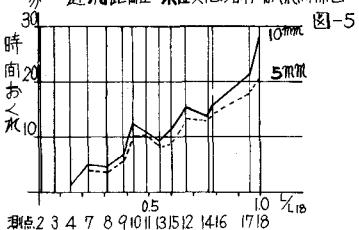


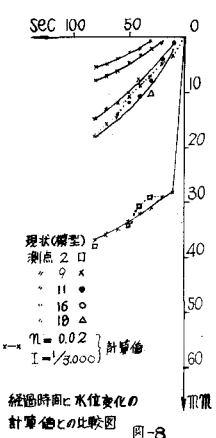
図-5

この無次元表示は  $t = \frac{x}{\sqrt{gh}}$  (ここで  $t = \frac{L}{\sqrt{gh}}$ ,  $h = \frac{L^2}{2x}$ ,  $x = \frac{L^2}{2h}$  で  $L$  = 水深,  $x$  = 流下方向の水平距離で、実物の水理量と  $P$ , 模型の水理量と  $m$  サフティクスをつけた。) によって実物と模型の時間を合わせて無次元化した。流速の変化については、模型と実物で絶対量と差があるが、距離と反比例して減少していく現象は極めてよくいた。水路の一部(図-1 参照)を埋め下場合には、埋めない場合と比較して水位は、水位の減少量がやや大きくなるが、流速は極めて直線的に減少していく。又実物の場合と同様に Stoker 法によつて模型実験についても計算してみたが、上流に向かって計算値と実験値の間に差が出てくる。(図-8 参照)

埋めたての場合は現状と比して更にその値は小さくなり、現状の場合と同様に計算値と実験値の差が上流に向かって大きくなる。(図-9) これは横の縮尺が縦の縮尺に比して大きいためと思われる。

次に現地実験による水位変化と距離との関係を見たために、これを無次元化してみよと図-10 の如くなる。

図-10が水路の粗度、分岐水路の数等に無関係に成立すると言ければ、各分岐水路の分流量が推定されるものと考えるが、粗度の影響、分岐



— 実測値  
--- 計算値  
 $n = 0.02$   
 $I = 1/3000$

経過時間と水位変化の比較図

図-8

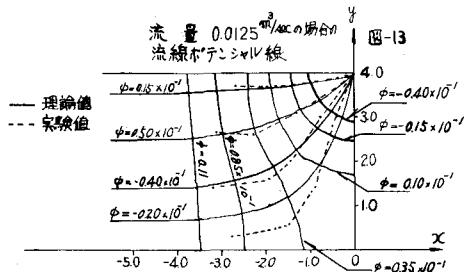


図-13  
流速分布(シルビウス線)

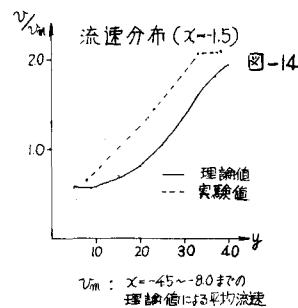


図-14  
流速分布( $x=1.5$ )

図-13, 14から低地部のゆっくりした水流の動きは、ポテンシャル流れと考へて充分であることを、及び表面の凹凸はほとんど表面の流線に影響を与えないことがわかつた。

今後この流線を利用して平面部各位置における水位の時間的動きについて計算及び実験を行いたいと思つていい。

以上極めて多岐にわたる低地部の内水排除に関する基本的実験を行い、計算値と比較を行つたが、未だ定性域を脱していない点もあるので、今後更に研究を行いたいと考えております。

論文作成に当つて協力された当センター風水官防災研究室木下舜、町田勝、青木尚子各位に深く謝意を表します。

#### 参考文献

stoker : Water Waves

佐々木達治郎 : 等角写像の応用

有賀世治・伊藤秀夫・町田勝 : 有明海北岸低地上における水害防止に関する研究

西畠秀夫 : 内水・洪出し解析

荒木正夫 : 模擬防潮水路網の一解法

伊藤秀夫 : 有明海北岸低地部クリーク内の水位変動に関する実験